Ō









Webinar venerdì 12 aprile 2024

Tecniche tradizionali ed innovative
di protezione sismica delle costruzioni

# ISOLAMENTO SISMICO GEOTECNICO: PRINCIPI DI FUNZIONAMENTO ED ESEMPI STORICI

12 APRILE 2024 ORE 10.00

# Ing. Filomena de Silva, PhD

Prof. Ing. Alessandro Flora, PhD Ing. Fausto Somma, PhD

DIPARTIMENTO DI INGEGNERIA CIVILE EDILE E AMBIENTALE



# MAPPA DI PERICOLOSITÀ SISMICA EUROPEA





L'Italia è la nazione ad elevata pericolosità sismica con il più alto numero di siti culturali al mondo

# **DANNI SISMICI A EDIFICI STORICI**

Norcia- Ottobre 2016



L'Aquila- Aprile 2009



Emilia- *Maggio 2012* 



Emilia- Maggio 2012



# I PRINCIPALI PROBLEMI DI INTERVENTO SU UN EDIFICIO STORICO



#### Generalmente progettati senza tenere conto delle azioni sismiche:

- Sono vulnerabili anche per terremoti più frequenti;
- Sono spesso caratterizzati da:
  - ✓ Irregolarità in pianta ed in elevazione;
  - ✓ Connessioni tra muri verticali e solai orizzontali inefficaci a garantire l'effetto scatolare;
  - ✓ Flessibilità dei solai di piano;
  - ✓ Fondazioni superficiali.

## La verifica sismica di tali manufatti è piuttosto complessa poiché:

- Sono richiesti livelli di sicurezza più alti a causa della presenza di turisti;
- L'integrità e il valore storico di tali edifici deve essere preservato.

## Le tecniche strutturali tradizionali non sono in genere applicabili poiché:

- Si basano sull'incremento di rigidezza e resistenza degli elementi strutturali;
- Sono solitamente non reversibili;
- Fanno uso di materiali solitamente incompatibili con quelli originari;
- Determinano un cambiamento della concezione strutturale dell'edificio;
- Sotto azioni sismiche violente non prevengono il danno ma solo il collasso della struttura.

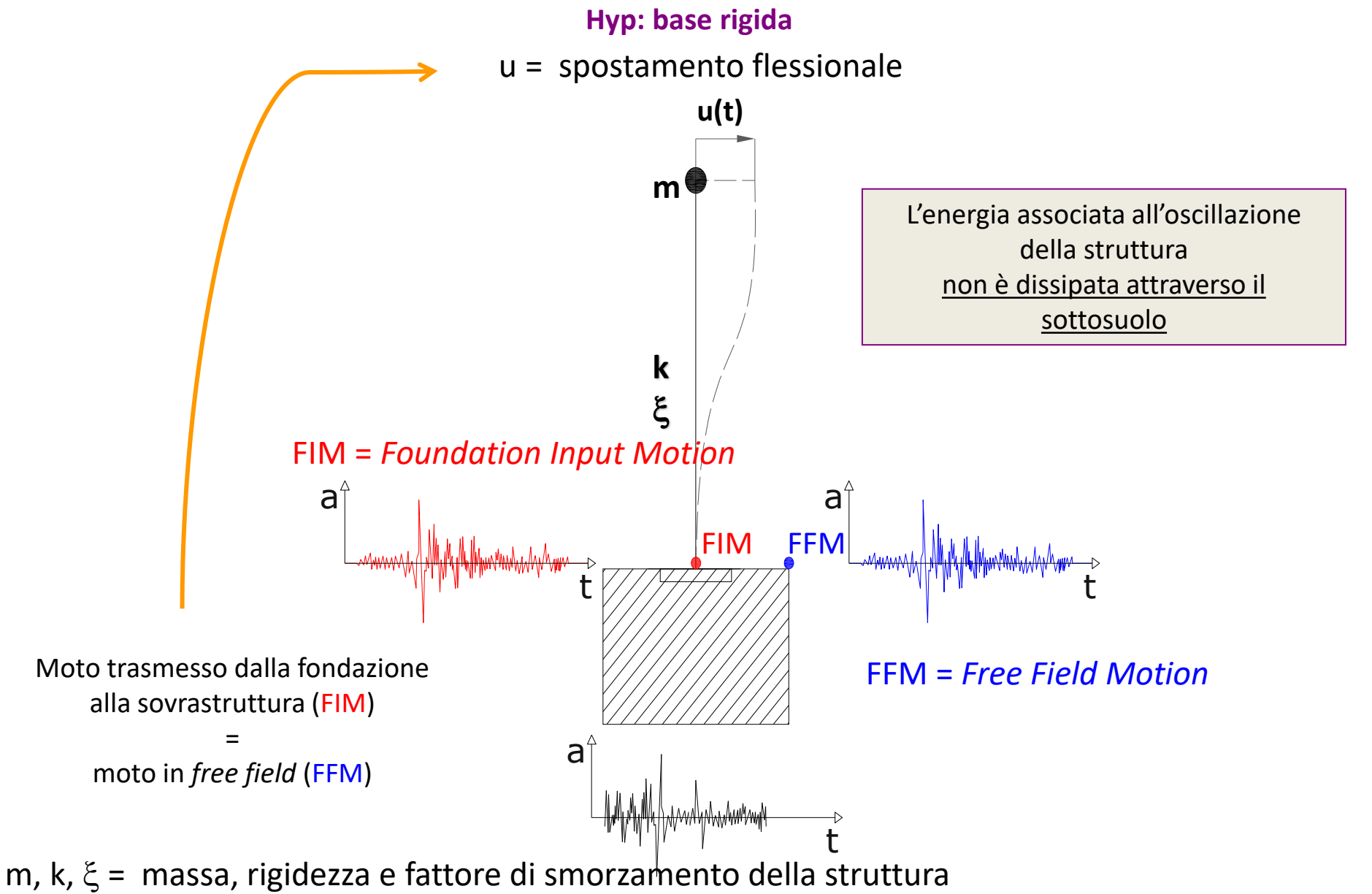
# **SOMMARIO DELLA PRESENTAZIONE**



- Principi dell'Interazione Terreno-Fondazione-Struttura (SFSI)
- Uso dello smorzamento isteretico del terreno
- Principi dell'Isolamento Sismico Geotecnico (GSI)
- Esempi storici di GSI
- Nuove idee di GSI:
  - La tecnica della Disconnessione laterale
  - La tecnica delle Barriere soffici
  - La tecnica SMART-GAP
- Conclusioni

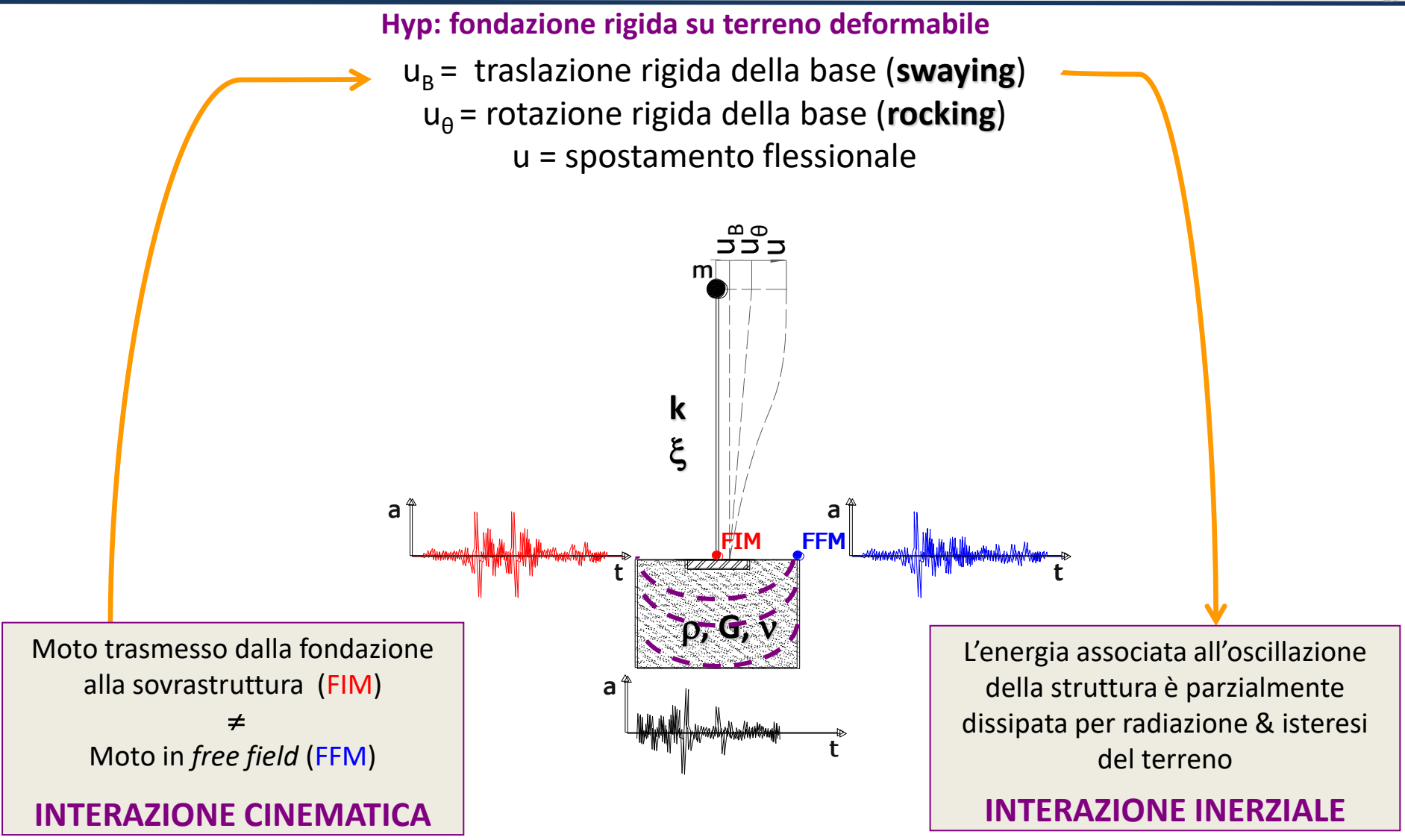
# COMPORTAMENTO DINAMICO DELLA STRUTTURA A BASE FISSA





## COMPORTAMENTO DINAMICO DEL SISTEMA TERRENO-STRUTTURA SFS





m, k,  $\xi$  = massa, rigidezza e fattore di smorzamento della struttura  $\rho$ , G,  $\nu$  = densità, rigidezza a taglio e coefficiente di Poisson del terreno

# INTERAZIONE CINEMATICA

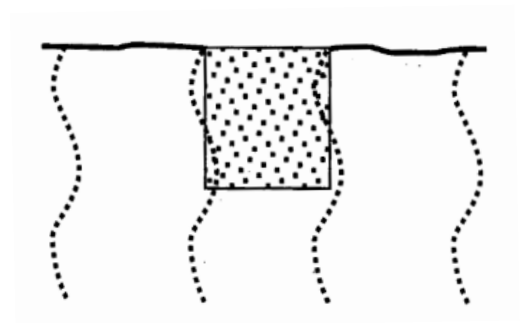


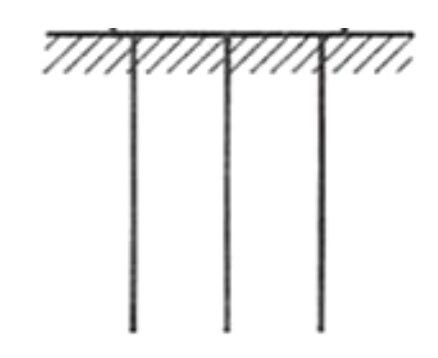
FONDAZIONE SUPERFICIALE



**PALI** 







## Fondazione superficiale

- -non segue la deformata del p.c. per effetto della variabilità spaziale delle onde P
- -non modifica le onde S che si propagano in verticale -> interazione cinematica trascurabile

#### Fondazione interrata

- -modifica le onde S, soprattutto le alte frequenze
- -lunghezze d'onda paragonabili alla profondità di interramento inducono momenti sulla

fondazione

#### Pali

- -modifica le onde S, soprattutto le alte frequenze
- -le onde sismiche inducono momenti sulla fondazione

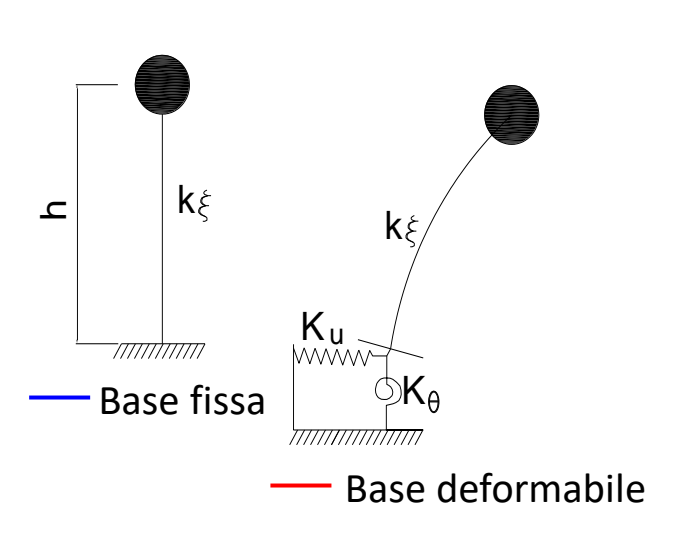
<u>L'interazione cinematica è trascurabile se la fondazione</u>
<a href="https://doi.org/10.1001/journal.com/">ha rigidezza prossima a quella del terreno (opere esistenti in muratura)</a>

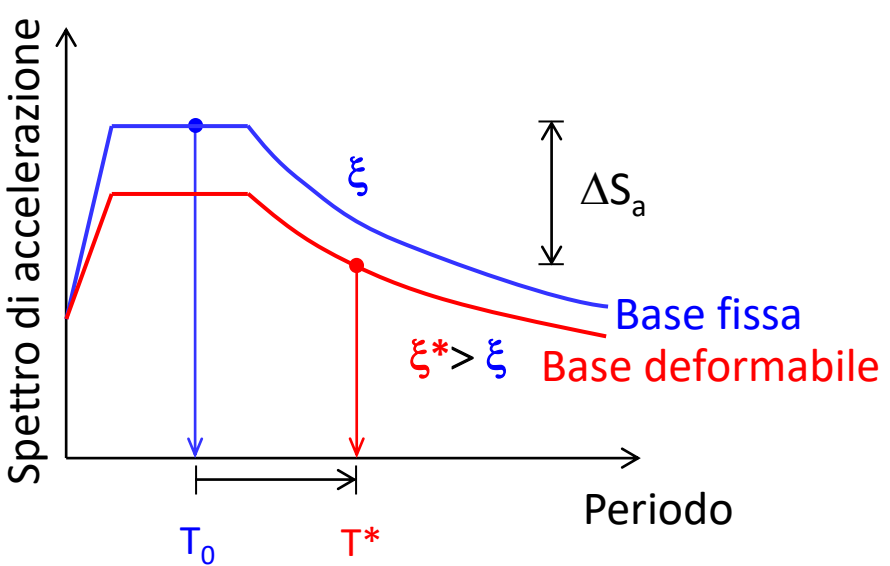


# INTERAZIONE INERZIALE



#### Hyp: Interazione cinematica trascurabile





Lo smorzamento strutturale si riduce da  $\xi$  a  $\xi_{\rm str}*$ In fondazione si genera smorzamento radiativo  $\xi_{rad}^*$ smorzamento isteretico  $\xi_{hvs}^*$ 

Lo smorzamento complessivo cresce  $\xi^* (= \xi_{str}^* + \xi_{rad}^* + \xi_{hvs}^*)$ 



Le azioni sismiche sul sistema a base deformabile possono essere superiori o inferiori rispetto a quello a base fissa in funzione di  $T_0$ ,  $T^*$  e  $\xi^*$ 

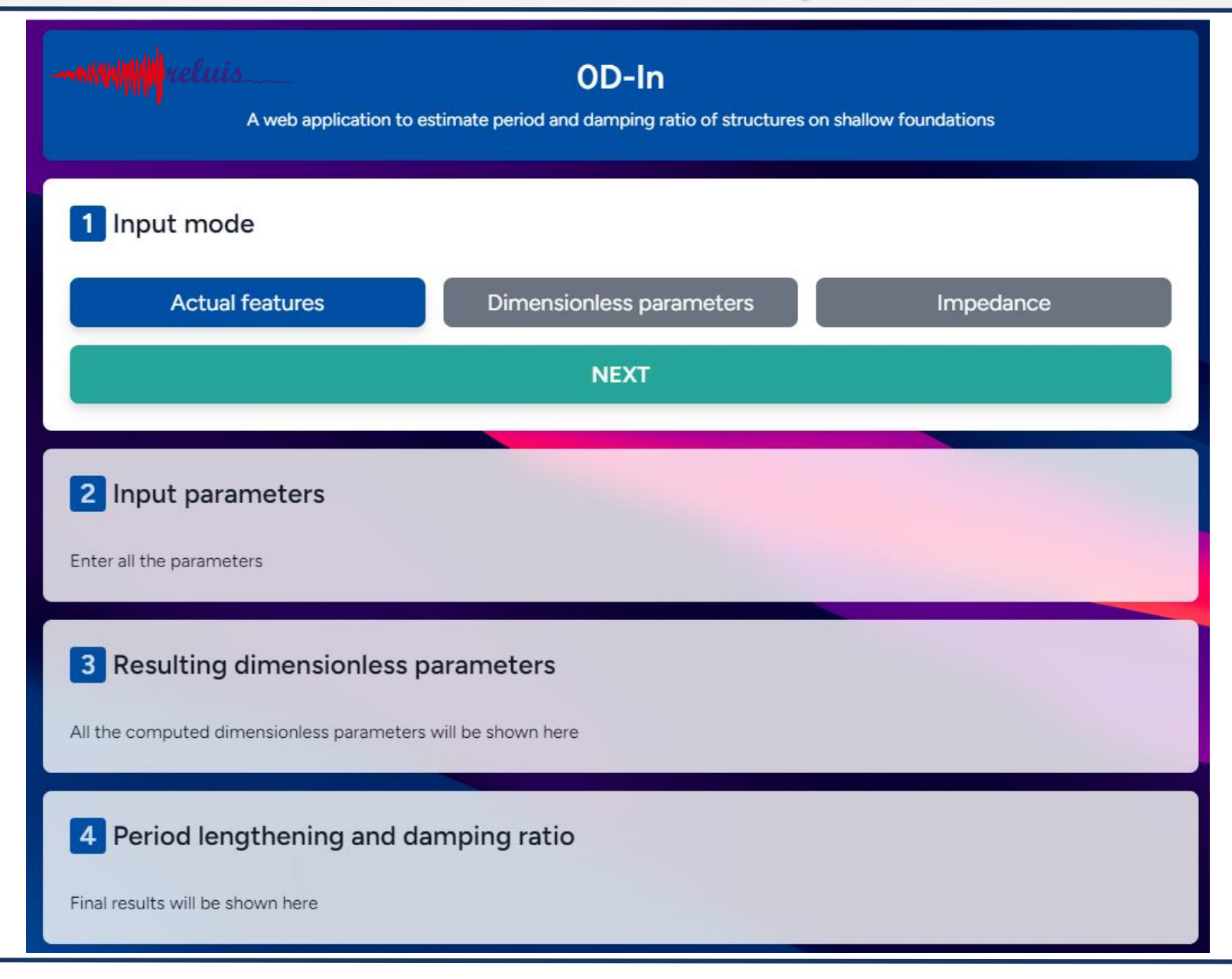
$$T^* = T_0 \sqrt{1 + \frac{k}{K_x} \left( 1 + \frac{K_x}{K_\theta} h^2 \right)}$$

$$\boxed{\boldsymbol{\xi}^* = \left(\frac{T_0}{T^*}\right)^2 \left\{ \frac{T_0}{T^*} \, \boldsymbol{\xi} + \frac{k_{str} a_0^*}{2K_x} \left[ \left( c_x^* + \frac{2\xi_{hys}}{a_0^*} \right) + \frac{K_x h^2}{K_\theta} \left( c_\theta^* + \frac{2\xi_{hys}}{a_0^*} \right) \right] \right\}}$$

# L'APP WEB 0D-In PER IL CALCOLO DI T\* E ξ\* https://dynatools.it/odin





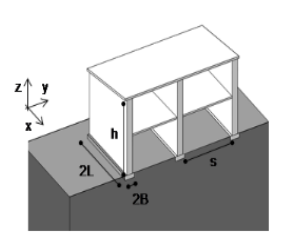


# L'APP WEB 0D-In PER IL CALCOLO DI T\* E ξ\* https://dynatools.it/odin





2 Input parameters

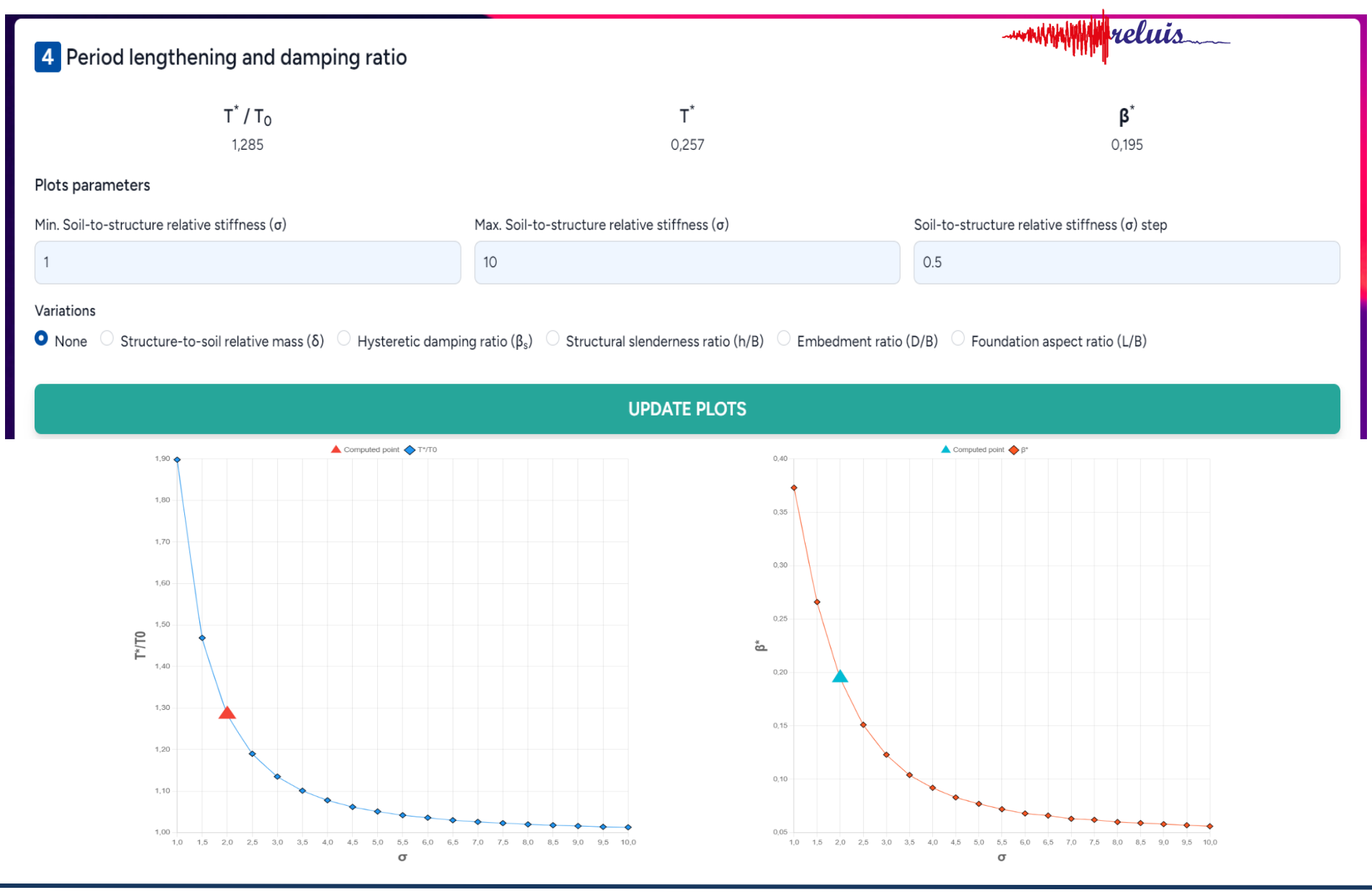


Foundation parameters		Soil parameters		Structural parameters	
Type  Circular Rectangular		Density (ρ)		Mass (m)	
		1	kg/m <sup>3</sup>	0	kg
Half-width (B)					
1 r	m	Shear wave velocity (V <sub>s</sub> )		Height (h)	
		1	m/s	1	m
Half-length (L)					
1	m	Poisson's ratio (ν)		Predominant period of the fixed base structure (T <sub>0</sub> )	
		0.33		1	s
Embedment (D)					
0	m H	Hysteretic damping ratio (β <sub>s</sub> )		Viscous damping ratio (β <sub>str</sub> )	
, and the second		0		0	
Number of foundations (n)					
1					

**NEXT** 

# L'APP WEB 0D-In PER IL CALCOLO DI T\* E ξ\* https://dynatools.it/odin





# **SOMMARIO DELLA PRESENTAZIONE**



- Principi dell'Interazione Terreno-Fondazione-Struttura (SFSI)
- Uso dello smorzamento isteretico del terreno
- Principi dell'Isolamento Sismico Geotecnico (GSI)
- Esempi storici di GSI
- Nuove idee di GSI:
  - La tecnica della Disconnessione laterale
  - La tecnica delle Barriere soffici
  - La tecnica SMART-GAP
- Conclusioni

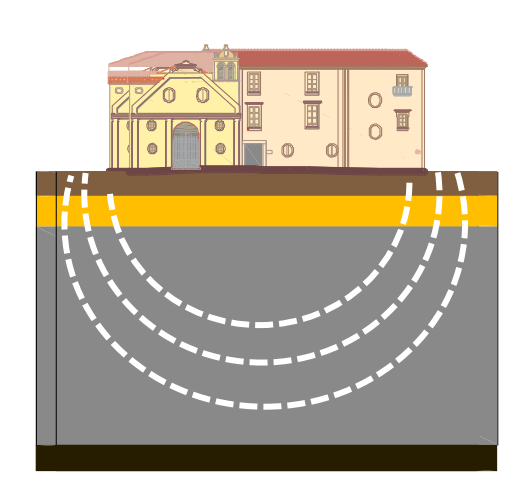
# **INFLUENZA DELLA SNELLEZZA STRUTTURALE**



Struttura snella







$$\xi^* < \xi \qquad \qquad \xi_{rad}^* \approx 0$$

$$\xi^* > \xi \qquad \qquad \xi_{str}^* < \xi$$

$$\xi_{rad}^* > 0$$

per strutture snelle, caratterizzate da cinematismi rotazionali e ridotta superficie di base

per strutture tozze, caratterizzate da cinematismi traslazionali ed estesa superficie di base

# **INVERSIONE DELLA GERARCHIA DELLE RESISTENZE**



Hyp: fondazione rigida superficiale su terreno elasto-plastico

$$\boxed{\boldsymbol{\xi}^* = \left(\frac{T_0}{T^*}\right)^2 \left\{ \frac{T_0}{T^*} \boldsymbol{\xi}_{str} + \frac{k_{str} a_0^*}{2K_x} \left[ \left( \boldsymbol{x} + \frac{2\boldsymbol{\xi}_{hys}}{a_0^*} \right) + \frac{K_x h^2}{K_\theta} \left( \boldsymbol{x} + \frac{2\boldsymbol{\xi}_{hys}}{a_0^*} \right) \right] \right\}}$$

<u>Approccio tradizionale –</u>

gerarchia delle resistenze

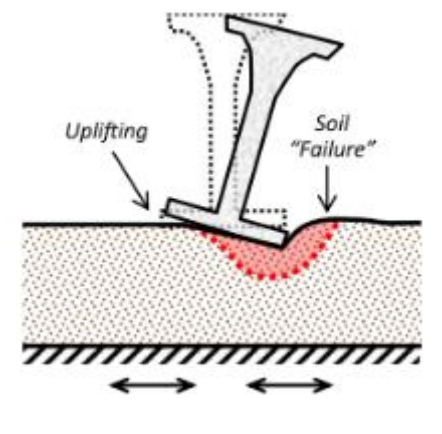
Collasso per la struttura

Nessun danno a terreno e fondazione

Nessun danno alla struttura

Collasso per terreno e fondazione

Approccio alternativo



March, 10th 2018





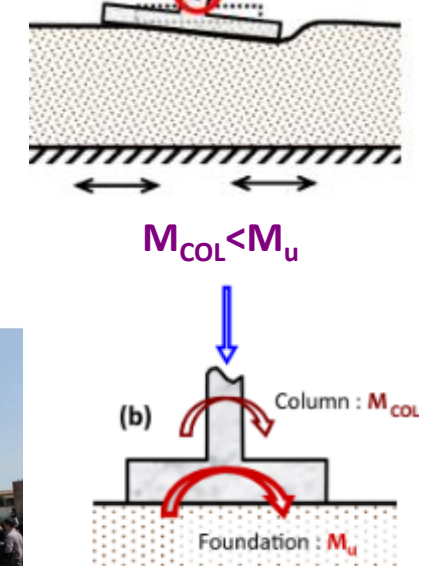
May, 10<sup>th</sup> 2018



Scienze

La Torre di Pisa è sopravvissuta ai terremoti grazie alla sua pendenza





"hinging"

# **UN APPROFONDIMENTO SULLE TORRI**



#### TOZZE H/B < 3

Altezza H e larghezza della base B

Masti successivi al 14esimo secolo Fari Tori colombaie Torri di avvistamento



Casamatta Tower, 1550 (LE) H/B=0.75



Capo Falcone Tower, 1577 (SS) Poseidonia Tower, 600 a.C.(SA) H/B=0.8 H/B = 1.5



**TOZZE** 3 ≤ H/B < 6

Masti precedenti al 14esimo secolo Torri dell'orologio Torri colombaie Torri campanarie Torri civiche

Torri civiche



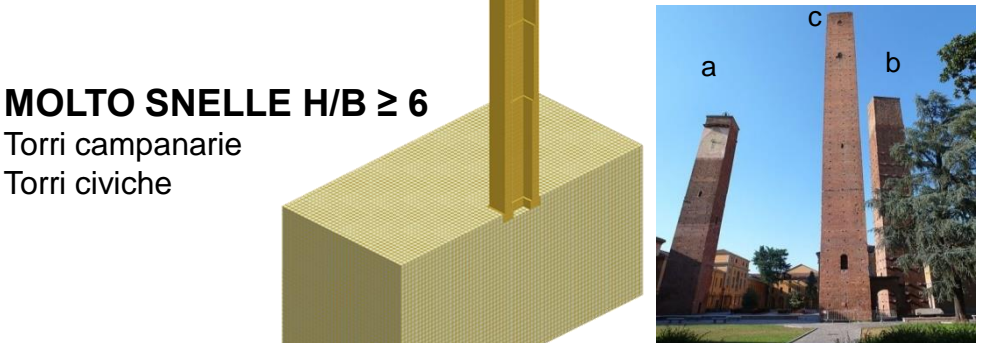
Elefante Tower, 1328 (CA) H/B=3



Clock Tower, 1600 (MO) H/B=4



Grossa Tower, 1300 S.Gim. (SI) H/B = 5.4



Three Towers, 1100 (PA)  $H/B_a = 6.7$ ,  $H/B_b = 6.7$ ,  $H/B_c = 9.2$ 



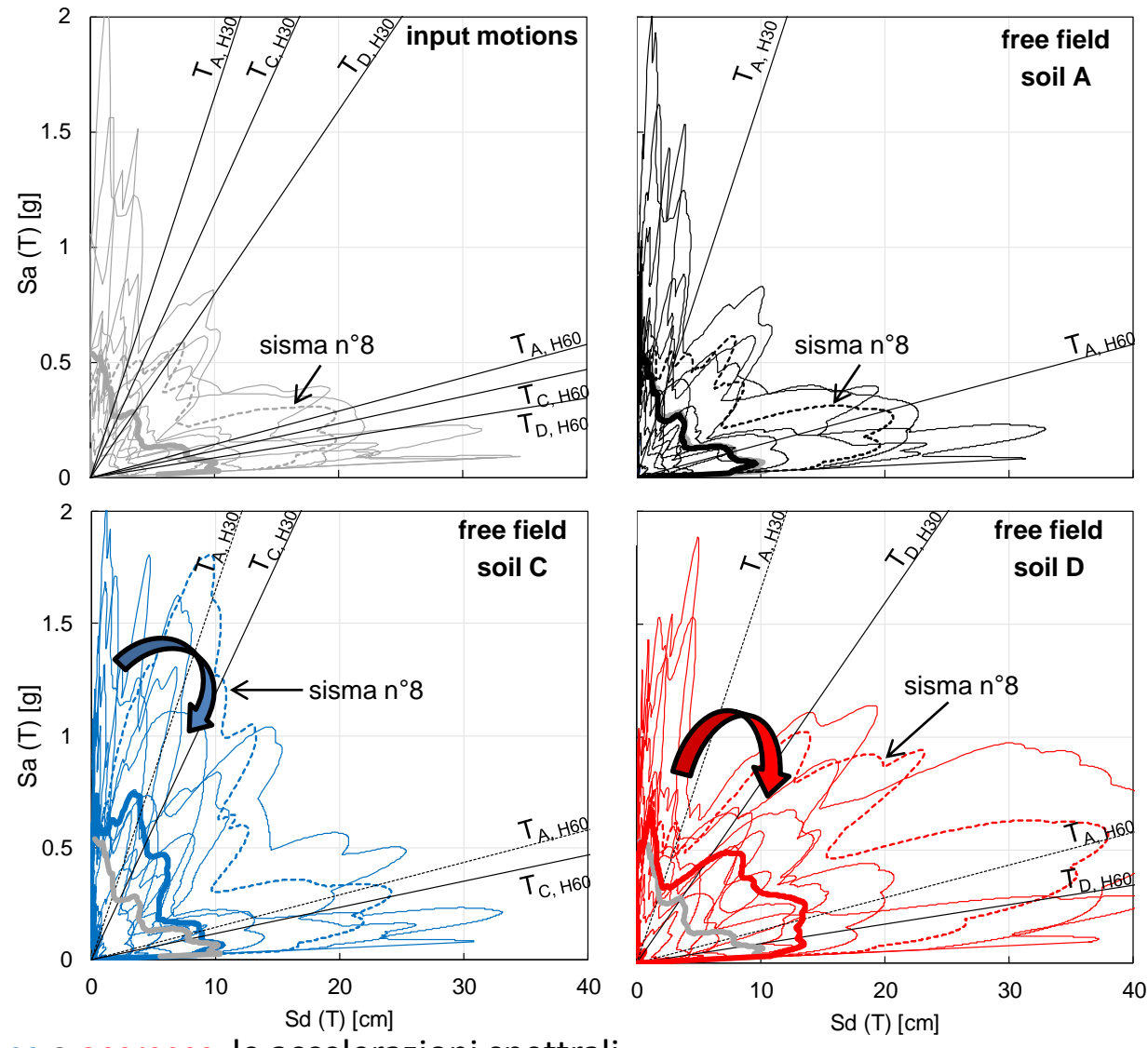
Garisenda & Asinelli, 1100 (BO)  $H/B_a = 6.5$ ,  $H/B_b = 11.9$ 



Carmine bell tower, 1456 (NA) H/B = 6.8

# **COMBINAZIONE DI EFFETTI DI SITO E DI INTERAZIONE**

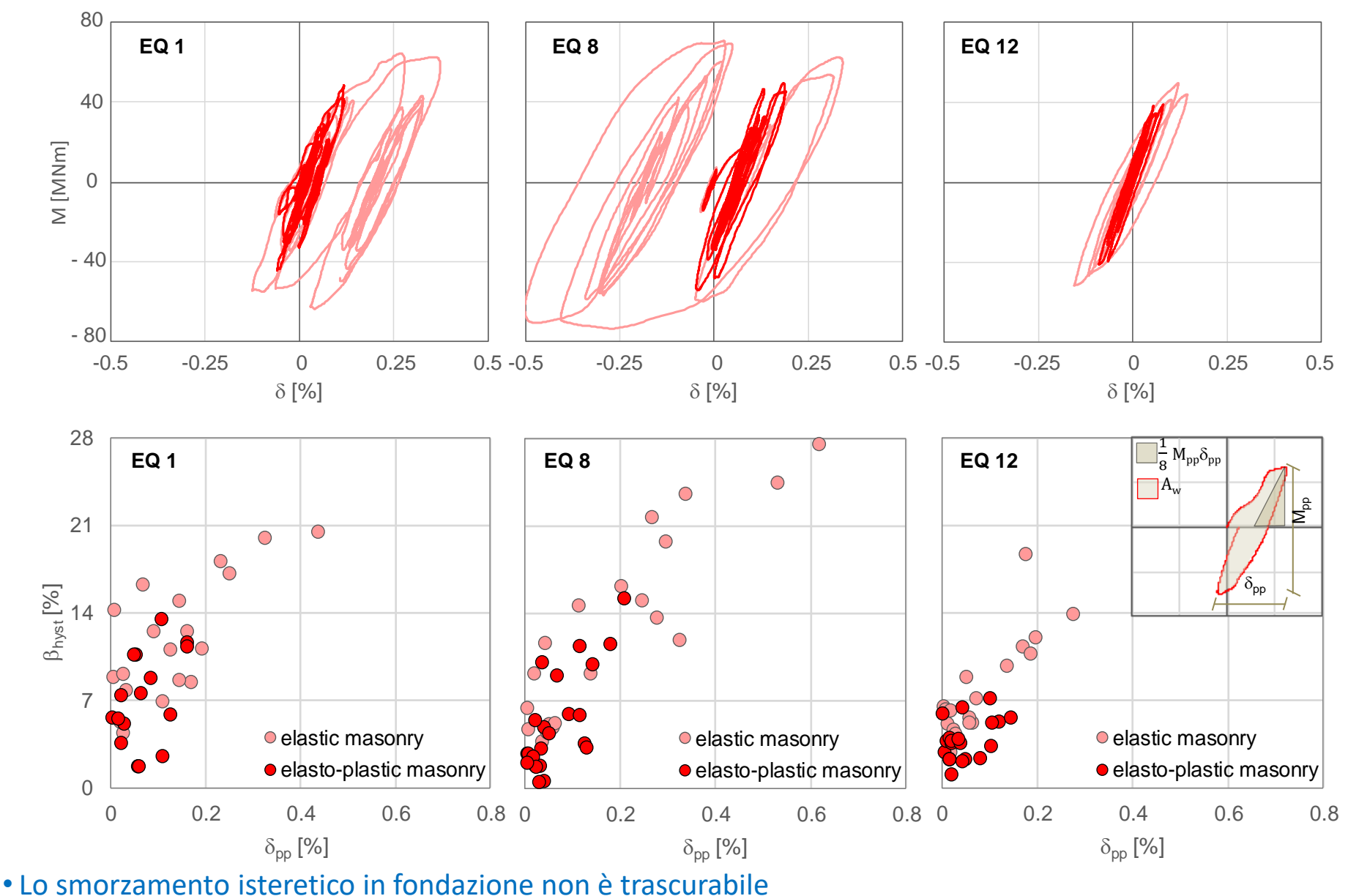




L'interazione riduce o accresce le accelerazioni spettrali
 in funzione del contenuto in frequenza dell'input e delle modifiche legate agli effetti di sito

# **SMORZAMENTO ISTERETICO DELLA FONDAZIONE**





\* LO SITIOIZAMENTO ISTERETICO III TOMAZIONE MONE CIASCANADNE

# **SOMMARIO DELLA PRESENTAZIONE**



- Principi dell'Interazione Terreno-Fondazione-Struttura (SFSI)
- > Uso dello smorzamento isteretico del terreno
- Principi dell'Isolamento Sismico Geotecnico (GSI)
- > Esempi storici di GSI
- Nuove idee di GSI:
  - La tecnica della Disconnessione laterale
  - La tecnica delle Barriere soffici
  - La tecnica SMART-GAP
- Conclusioni

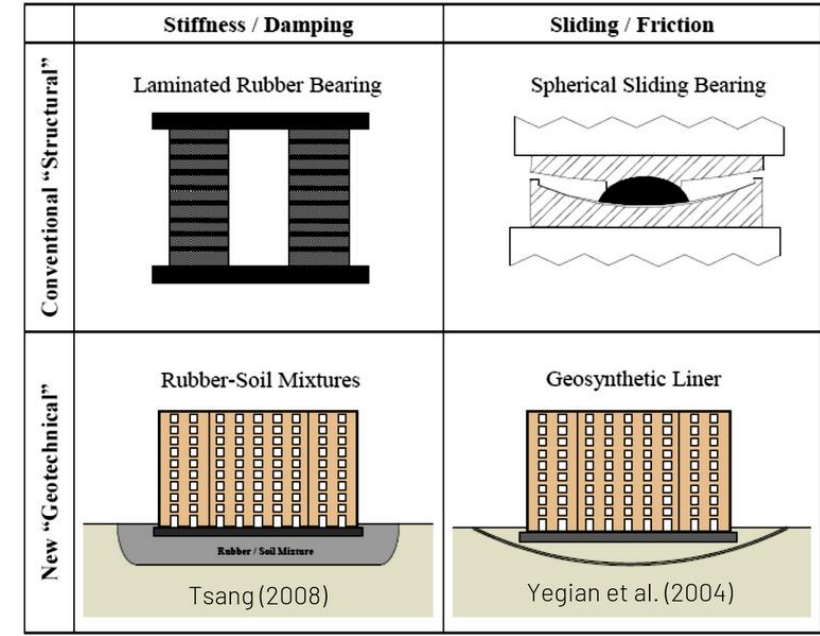
# ISOLAMENTO SISMICO GEOTECNICO(GSI)



## **DEFINIZIONE STORICA DI TSANG (2009):**

"A geotechnical seismic isolation system can be defined as a system that develops direct interaction with the natural terrain and / or artificially reinforced soils between the structure and its foundation (Tsang, 2009)"

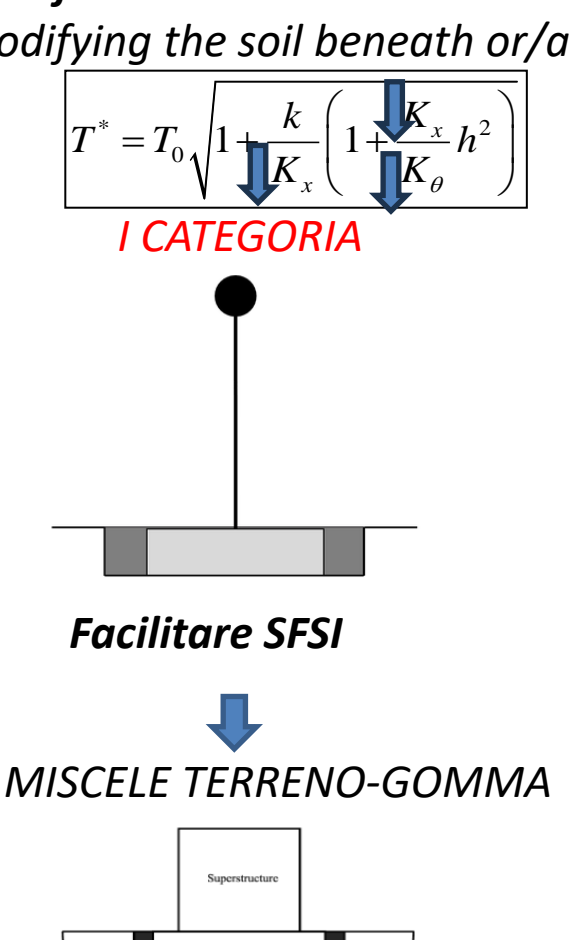


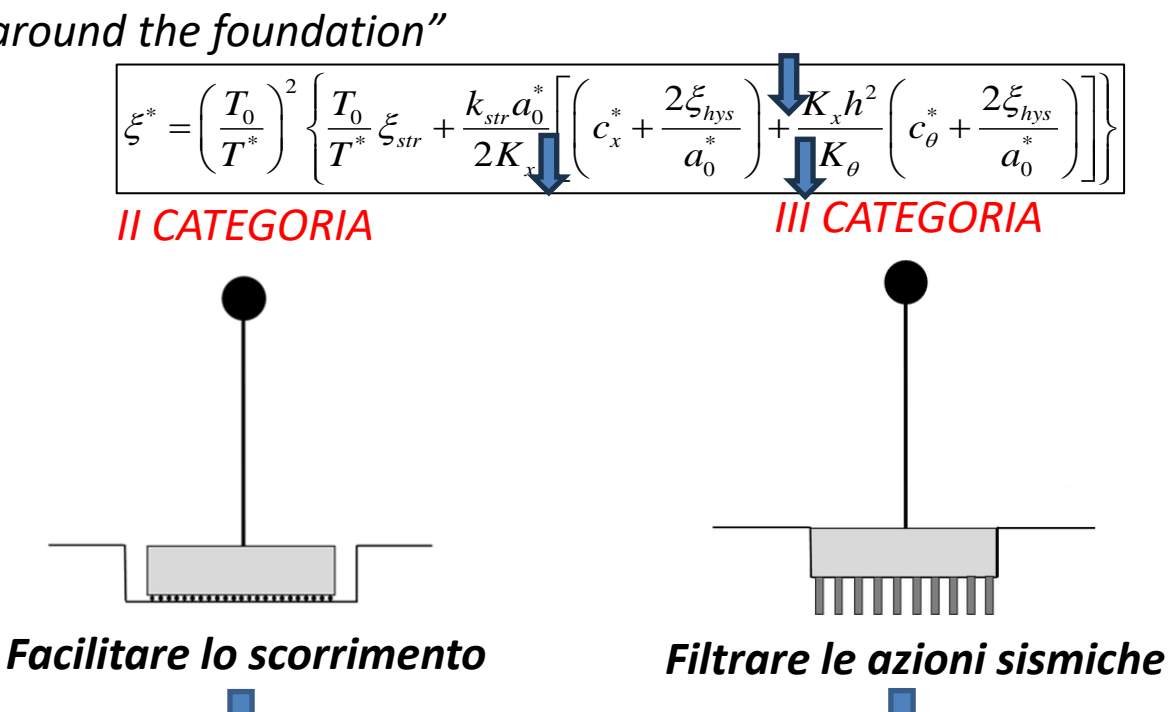


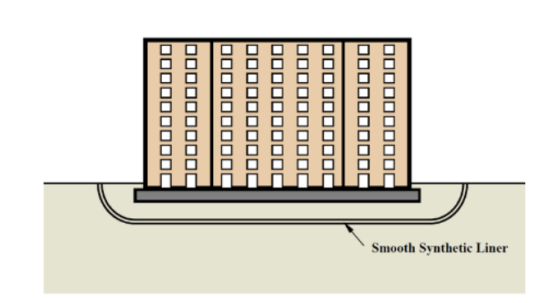
# **UNA POSSIBILE DEFINIZIONE NAPOLETANA**



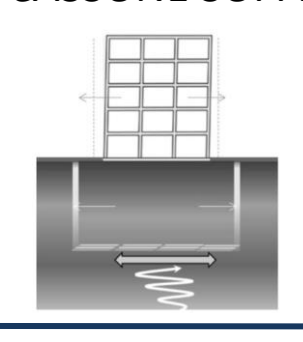
"A geotechnical seismic isolation technique can be defined as a system capable of generating a **beneficial soil-structure interaction and/or a beneficial local seismic response** by artificially modifying the soil beneath or/and around the foundation"







SUPERFICI LISCE ARTIFICIALI

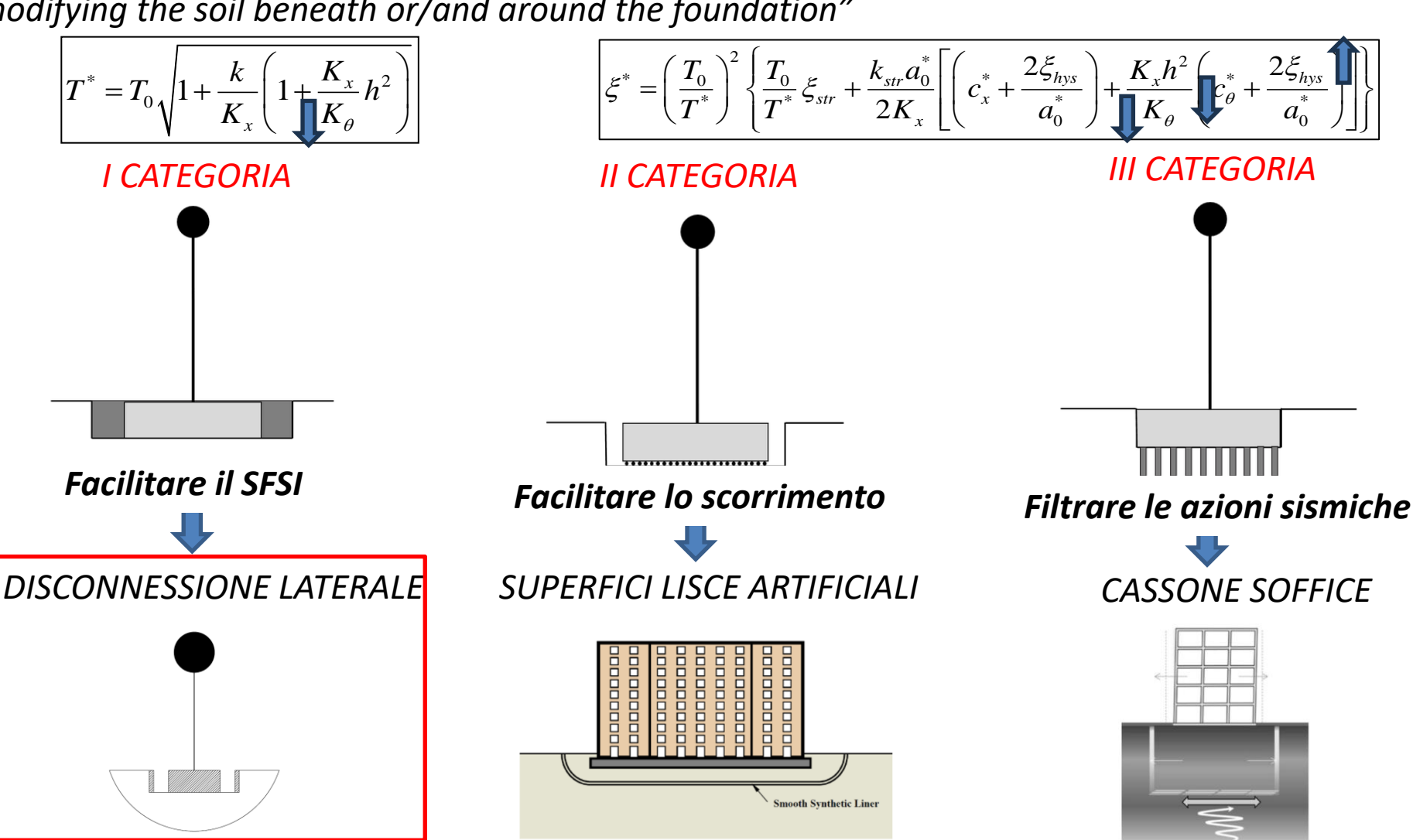


CASSONE SOFFICE

## UNA POSSIBILE DEFINIZIONE NAPOLETANA



"A geotechnical seismic isolation technique can be defined as a system capable of generating a **beneficial soil-structure interaction and/or a beneficial local seismic response** by artificially modifying the soil beneath or/and around the foundation"



# **SOMMARIO DELLA PRESENTAZIONE**



- Principi dell'Interazione Terreno-Fondazione-Struttura (SFSI)
- > Uso dello smorzamento isteretico del terreno
- Principi dell'Isolamento Sismico Geotecnico (GSI)
- Esempi storici di GSI
- Nuove idee di GSI:
  - La tecnica della Disconnessione laterale
  - La tecnica delle Barriere soffici
  - La tecnica SMART-GAP
- Conclusioni



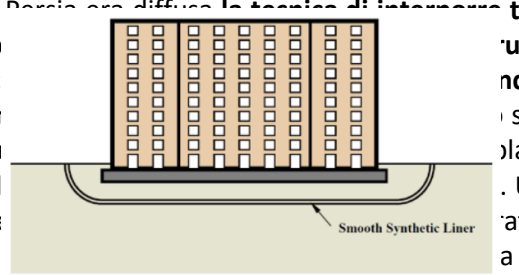
# **GLI ANTICHI CONOSCEVANO IL GSI?**







- Gli edifici nell'antica Creta (2000÷1200 a.C.) sono fondati su uno strato di sabbia e ghiaia sciolta, che oltre a servire per il livellamento delle irregolarità del terreno, costituiscono un filtro per le azioni sismiche;
- Secondo l'archeologo statunitense Carl Blegen, nella costruzione delle grandi Mura di Troia (1500 a.C.), sotto le fondazioni del grande muro fu deliberatamente lasciato uno strato di terra compatta (hard-packed) tra il piano di fondazione e la roccia di base. Evidenziando la somiglianza con la tecnica utilizzata, oltre mille anni più tardi (III sec. a.C.), nel tempio di Atena, a Ilion le cui fondazioni poggiano su di uno spesso strato di sabbia, come pure I templi dorici di Paestum (273 a.C.).;
- Nell'antica Grecia e nella Parsia dei templi, alcuni strati caso di terremoto. In alc mettevano strati di cerai dalla disidratazione, ma dell'argilla smorzava la vi in Grecia e Persia prevede a base di malta magra di magra viene distrutta e



rtra il terreno e le fondazioni ruzione rispetto al terreno in ndazioni alla base delle quali strato d'argilla dall'umidità e plastiche. L'elevata plasticità . Una ulteriore tecnica diffusa ratura di un giunto orizzontale a supera certi valori, la malta

#### SUPERFICI LISCE ARTIFICIALI

 Buoni risultati si riscontrano anche quando la fondazione è composta da diversi strati di pietra levigata, senza alcuna malta o materiale legante, come nella tomba di Ciro il Grande a Pasargadae, sud est dell'Iran, costruita nel 550 a.C.



# **GLI ANTICHI CONOSCEVANO IL GSI?**

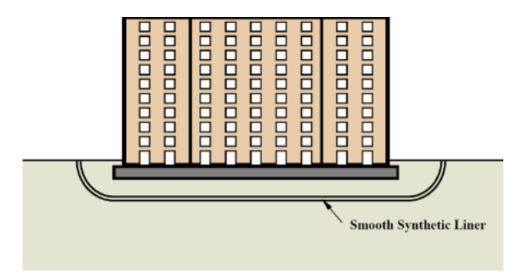
IL TEMPIO DI ARTEMIDE AD EFESO (VI SEC. AC)

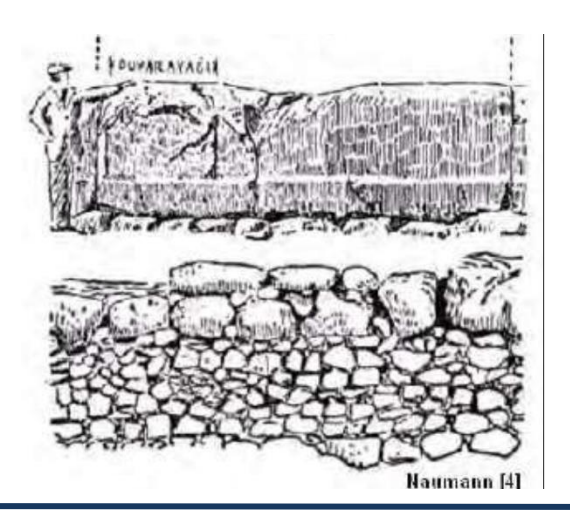


"Una realizzazione della grandiosità greca degna di autentica meraviglia è il tempio di Diana che ancora esiste a Efeso, la cui costruzione impegnò tutta l'Asia per 120 anni. Lo eressero in una zona palustre, perché non dovesse subire terremoti o temere spaccature del suolo."

[Plini]







## Tecnica Persiana: Orthostat stone layer

Un primo strato di pietre piatte di piccole dimensioni, poi alcuni strati con pietre di più grandi dimensioni che diventano la fondazione. Le pietre sono accostate a secco, senza alcuna malta o materiale legante, il meccanismo è tale che in realtà non si verifica scorrimento; o più esattamente vi è un piccolo scorrimento ed il ritorno alla loro posizione originale, dopo il terremoto.



# **GLI ANTICHI CONOSCEVANO IL GSI?**



A seguito della scossa di magnitudo 7.9 del 1 settembre 1923 (terremoto del Kanto, 140000 vittime), il barone Kihachiro Okura scriveva a Frank Loyd Wright:

L'hotel non è danneggiato come monumento al tuo genio. Migliaia di senzatetto sono perfettamente assistiti al suo interno. Congratulazioni. Okura.

Tutti gli edifici in acciaio sono stati fatali e questo basta per dimostrare quanto i nostri architetti sono stati sciocchi. Che gloria è vedere l'Imperiale dritto tra le ceneri di una città intera. Gloria a te. Cordialmente Arata Endo. Okura.

Il 26 settembre Frank Loyd Wright scrive al collega Luis Sullivan:

Quello che ha salvato l'Imperial è stato il principio di flessibilità, fondazioni flessibili...ed una esagerazione di tutti i membri verticali di supporto, tenendo il baricentro il più basso possibile

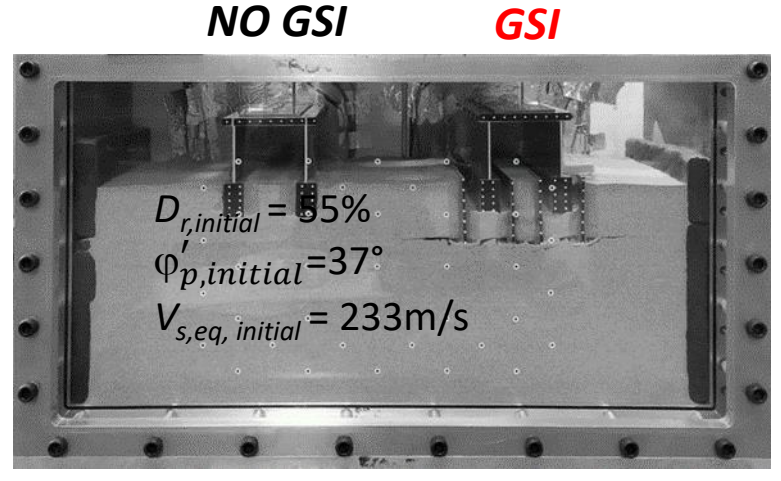
# **SOMMARIO DELLA PRESENTAZIONE**

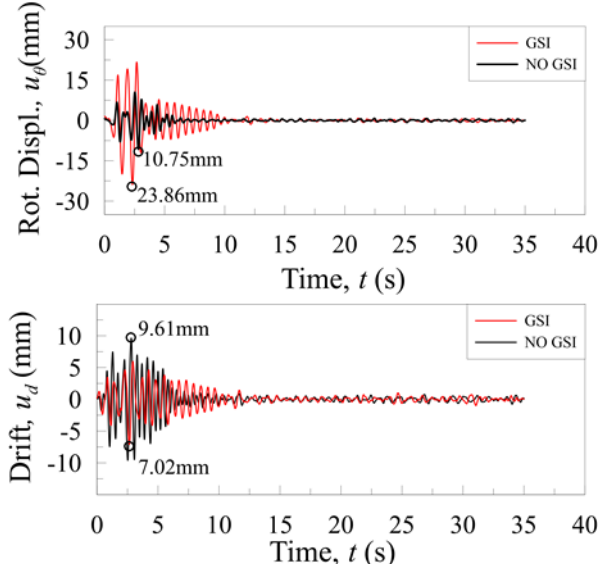


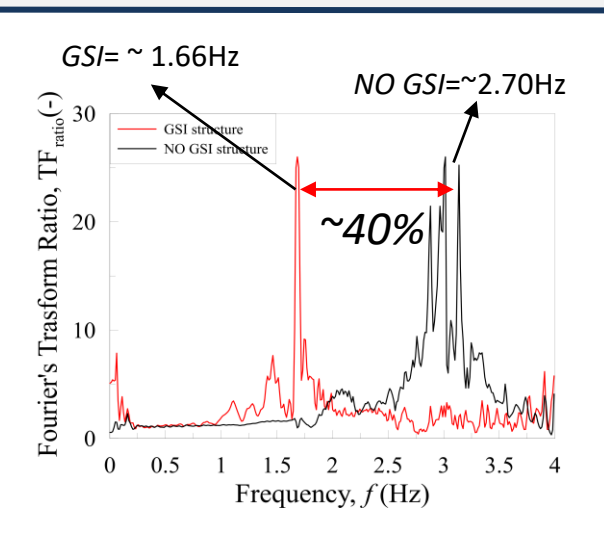
- Principi dell'Interazione Terreno-Fondazione-Struttura (SFSI)
- > Uso dello smorzamento isteretico del terreno
- Principi dell'Isolamento Sismico Geotecnico (GSI)
- > Esempi storici di GSI
- > Nuove idee di GSI:
  - La tecnica della Disconnessione laterale
  - La tecnica delle Barriere soffici
  - La tecnica SMART-GAP
- Conclusioni

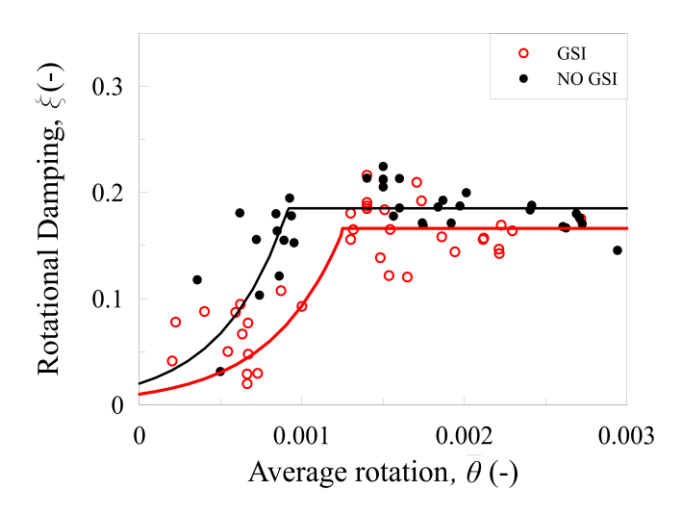
# NUOVE IDEE DI GSI: LA TECNICA DELLA DISCONNESSIONE LATERALE







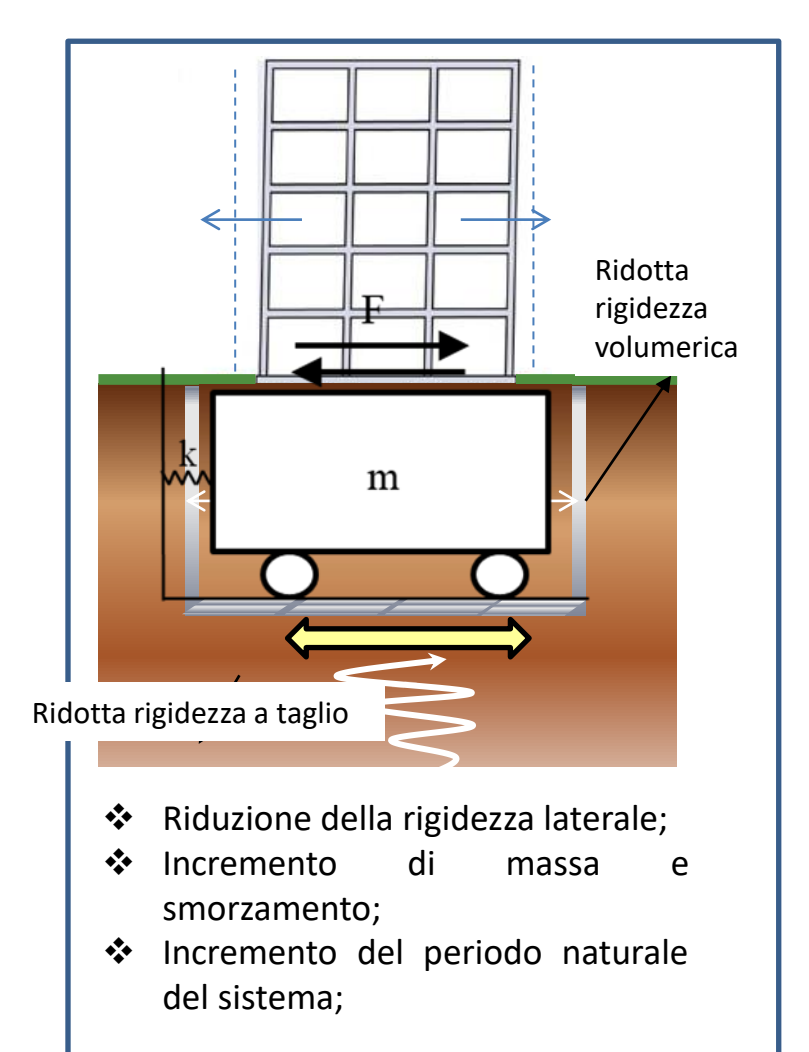




- La frequenza fondamentale si riduce
- La rotazione in fondazione aumenta, ma lo spostamento flessionale della struttura si riduce
- Lo smorzamento complessivo si riduce soprattutto alle rotazioni medio-basse

# **NUOVE IDEE DI GSI: LA TECNICA DELLE BARRIERE SOFFICI**





Materiale utilizzato caratterizzato da bassa rigidezza e resistenza a taglio

## SUPER ABSORBING POLYMER (SAP):

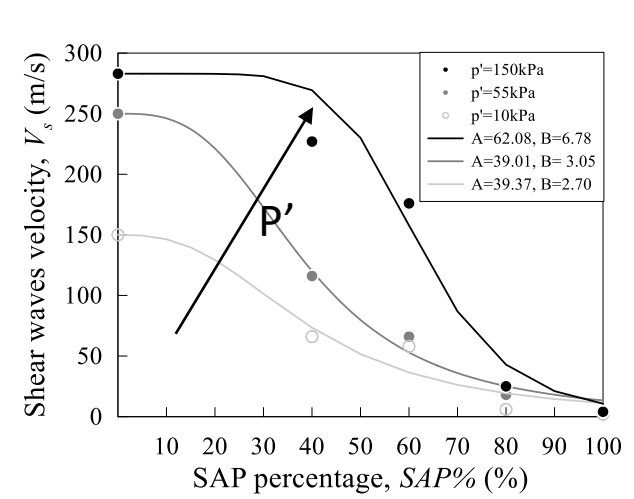


#### Stato secco:

- In polvere
- Distribuzione granulometrica modificabile

**Stato idratato:** 

- In gel
- Densità ≅ a quella dell'acqua

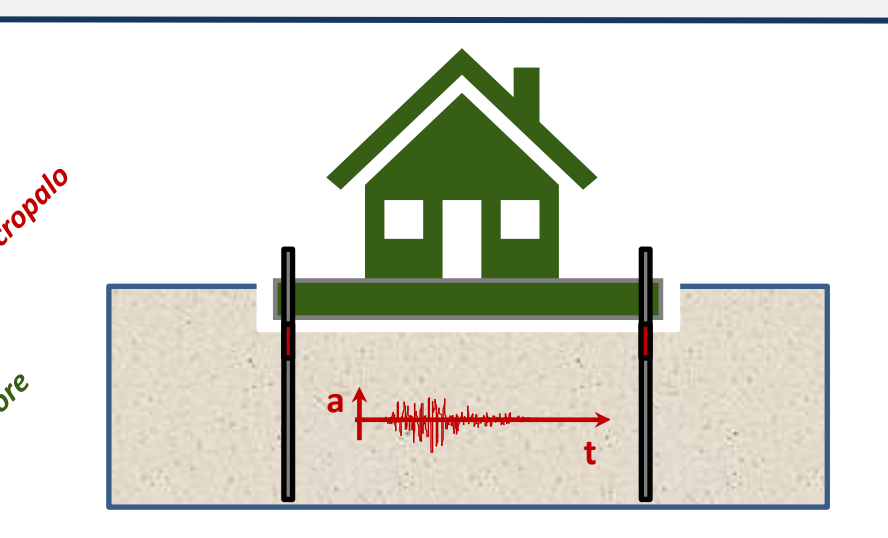


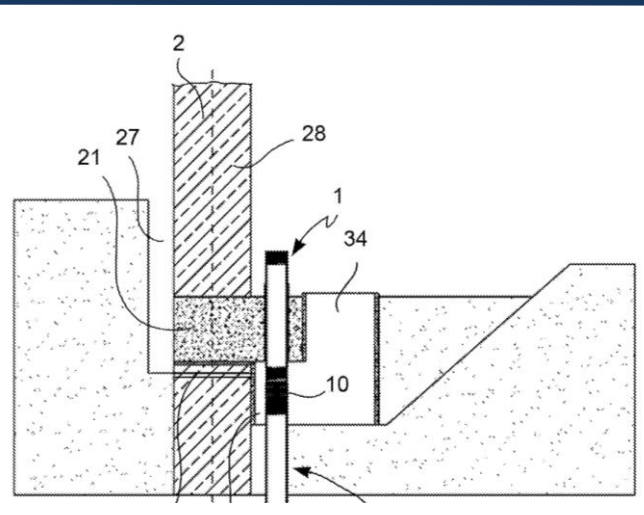
$$V_S = V_{S,0} * \frac{1}{1 + \left(\frac{SAP\%}{A}\right)^B}$$

❖ A, B funzione di p'

# **NUOVE IDEE DI GSI: LA TECNICA SMART-GAP**







#### ATTESTATO DI BREVETTO PER INVENZIONE INDUSTRIALE N.102020000016588

Il dispositivo è composto da segmenti di micropali filettati alle due estremità. Il dispositivo «isolatore» viene interposto tra gli ultimi due segmenti, garantendo una sconnessione tra sottostruttura e sovrastruttura.

La solidarizzazione tra la nuova fondazione (sottofondazione) e la sovrastruttura può avvenire mediante realizzazione di un cordolo rigido in c.a. gettato in opera. Quest'ultimo garantisce il **totale trasferimento dei carichi statici gravitazionali** alla sottofondazione.

La struttura viene così **sottofondata** con l'utilizzo di una **fondazione profonda su micropali**, sconnettendo la struttura dal terreno. Gli isolatori, generalmente elastomerici, inglobati tra i micropali garantiscono **l'isolamento sismico.** 

#### Reference:

Fasano, G., Astuto, G., Bilotta, E., Flora, A., 2022. Innovative seismic isolation system for new and existing structures. 3rd European Conference on Earthquake Engineering & Seismology Bucharest, Romania.

www.smart-g.eu

# **CONCLUSIONI**



- 1) L'interazione dinamica terreno-fondazione-struttura (SFSI) va portata in conto nella valutazione del rischio sismico dei monumenti perché conduce ad un modello di risposta più realistico
- 2) Il solo effetto dell'SFSI può contribuire a ridurre le azioni sismiche sul monumento e aumentarne la capacità dissipativa
- 3) L'isolamento sismico geotecnico (GSI) può aumentare gli effetti al punto 2) come era noto ai costruttori degli edifici del passato in cui il GSI era stato utilizzato efficacemente
- 4) Oggi esistono tecniche avanzate di GSI che possono essere applicate efficacemente ai monumenti preservandone l'integrità. La più adatta va scelta in funzione delle caratteristiche geometriche e meccaniche di edificio, fondazioni e sottosuolo.

# Grazie per l'attenzione!